

**ПРЕОБРАЗОВАНИЕ ЧАСТОТЫ
БЕГУЩИХ МАГНИТОСТАТИЧЕСКИХ ВОЛН
В ТОНКИХ ФЕРРИТОВЫХ ПЛЕНКАХ**

Г. А. Мелков, С. В. Шолом

Преобразование частоты в ферромагнетиках известно уже более 30 лет [1]. Изучены все возможные режимы работы, и на объемных образцах ферритов проведено большое количество экспериментов, имеющих конечной целью создание смесителей СВЧ. Однако эффективность ферритовых смесителей оказалась существенно меньшей, чем у известных полупроводниковых устройств [2]. В ферритовых пленках явление преобразования частоты может быть использовано для других целей, а именно для управляемого изменения частоты бегущей магнитостатической волны (МСВ). Для осуществления процесса преобразования необходимо выполнить ряд условий, обусловленных законами сохранения энергии и импульса. Пусть f_1, k_1 — соответственно частота и волновой вектор входной МСВ; f_H, k_H — частота ($f_H > f_1$) и волновой вектор дополнительного сигнала накачки. В результате преобразования частоты возникает выходная МСВ с частотой $f_2 = f_1 - \Delta f$ и волновым вектором k_2 , при этом

$$f_2 = f_H - f_1, \quad k_2 = k_H - k_1. \quad (1)$$

В роли накачки может выступать одна из МСВ (в этом случае эффективность преобразования наиболее велика), но технически более удобным является случай квазиоднородной

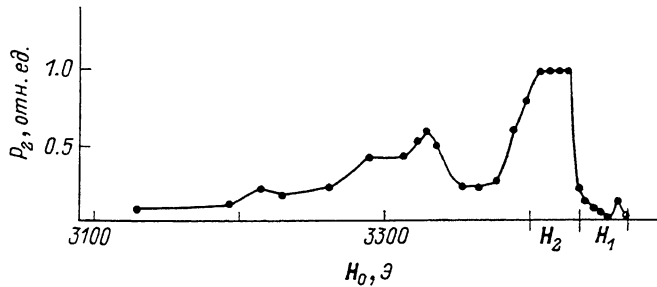


Рис. 1.

накачки, когда $k_1, k_2 \gg k_H \approx 0$ и $k_2 \approx -k_1$, т. е. входная и выходная волны должны иметь равные, но противоположные направленные волновые векторы. Если в качестве входной и выходной МСВ используются одинаковые волны, например прямая и обратная поверхностные МСВ, то условие $k_2 \approx -k_1$ означает $f_2 = f_1$, т. е. $\Delta f = 0$ (с учетом конечной ширины линии МСВ ΔH_k изменение частоты может достигать значения $|\Delta f| \sim \gamma \Delta H_k$). Это, по-видимому, имело место при преобразовании частоты МСВ в касательно намагниченных пленках ЖИГ, где изменение частоты МСВ не превышало ~ 5 МГц [3]. Существенное увеличение значения $|\Delta f|$ может быть получено при использовании для преобразования двух разных МСВ, например двух прямых объемных МСВ в нормально намагниченной ферритовой пленке, отличающихся индексом n , т. е. числом вариаций намагниченности по толщине пленки. При этом при одинаковых значениях волнового вектора $k_1 \approx k_2$ разность частот МСВ может достигать сотен мегагерц, на такую же величину может быть осуществлено и изменение частоты бегущей МСВ.

В данной работе исследовалось преобразование частоты прямой объемной магнитостатической волны (ПОМСВ) в нормально намагниченной пленке ЖИГ с геометрическим размером $7 \times 8 \times 22 \cdot 10^{-3}$ мм (ширина линии ФМР $\Delta H = 0.7$ Э), плоскость пленки совпадала с кристаллографической плоскостью (111). На входной преобразователь (медная незаземленная проволочка диаметром 25 мкм, наклеенная на поверхность ЖИГ) подавался сигнал частоты f_1 . В области аналогичного выходного преобразователя, расположенного на расстоянии ~ 3 мм от входного, располагался диэлектрический резонатор (ДР) на частоту накачки f_H . Пленка с резонатором и антеннами помещалась внутри трехсантиметрового волновода, которому подавался сигнал накачки, возбуждавший ДР. Вектор магнитного поля накачки на поверхности пленки был параллелен внешнему постоянному магнитному полю H_0 , т. е. осуществлялся, согласно [1], второй случай преобразования частоты. На приемной антенне

наряду с сигналами на частотах f_1 и f_H регистрировался сигнал на разностной частоте $f_2 = f_H - f_1$, амплитуда которого зависела от постоянного магнитного поля и мощности накачки. Чтобы предотвратить нагревание образца и ДР, использовался импульсный режим работы: длительность импульсов ~ 30 мкс, частота повторения 10 Гц.

На рис. 1 представлена зависимость мощности P_2 выходного сигнала на частоте f_2 от внешнего постоянного магнитного поля H_0 при $\Delta f = 96$ МГц. На рис. 1 H_1 и H_2 — теоретически рассчитанные значения постоянного магнитного поля, ниже которых в спектре МСВ появляются волны с частотами соответственно f_1 и f_2 . Как и следовало ожидать, эффективное преобразование частоты происходит в области полей $H_0 < H_2$, где существуют МСВ с собственными частотами f_1 , f_2 . При $H_0 > H_1$, где собственные частоты всех МСВ выше и f_1 , и f_2 , преобразование вообще отсутствует. При $H_0 < H_2$ наблюдаются быстрые резонансные осцилляции выходной мощности P_2 при изменении H_0 (на рис. 1 показаны лишь огибающие этих осцилляций), обусловленные попаданием частот f_1 и f_2 в резонанс к ПОМСВ с различными индексами n . Однако, согласно рис. 1, существует и общая тенденция уменьшения эффективности преобразования с уменьшением поля, связанная, по-видимому, с ростом как волновых векторов возбуждаемых МСВ k_1 и k_2 , так и их индексов.

Заметная эффективность преобразования наблюдалась обычно в диапазоне полей $\lesssim 400$ Гц, что соответствует возбуждению волн с $k_1, k_2 \lesssim 10^3$ см⁻¹. Зависимости, аналогичные показанной на рис. 1, наблюдались при $|\Delta f| \lesssim 100$ МГц. С ростом Δf эффективность преобразования из-за увеличения индекса МСВ падала, в связи с чем изменение частоты бегущей МСВ в наших экспериментах наблюдалось в пределах $-210 < \Delta f < +240$ МГц.

На рис. 2 представлена зависимость эффективности преобразования частоты, т. е. отношение выходной мощности P_2 на частоте f_2 к выходной мощности P_1 на частоте f_1 , от мощности накачки P_H . С ростом P_H эффективность преобразования увеличивается и достигает -30 дБ при $P_H \sim 500$ мВт. Дальнейший рост мощности накачки приводит к уменьшению эффективности преобразования из-за возникновения параметрического возбуждения накачкой спиновых волн.